

После элементарного интегрирования в (7) по  $\zeta=zl^{-1}$  и таких же вычислений, как в [1, 2], находим интенсивность дифрагированного света  $|E_1|^2=|(E_1)_+|^2+|(E_1)_-|^2$ ,

$$|E_1|_{\pm}^2 = |A_4|^2 \exp \left\{ -k^2 w_0^2 \left[ \left( \beta_1 \mp \frac{K}{k} \right)^2 + \beta_2^2 \right] \right\} \times \\ \times \frac{\sin^2 \frac{kl}{2} \left\{ \frac{1}{2} \left[ \left( \beta_1 \mp \frac{K}{k} \right)^2 + \beta_2^2 \right] + (\beta_3 - 1) \right\}}{\left\{ \frac{1}{2} \left[ \left( \beta_1 \mp \frac{K}{k} \right)^2 + \beta_2^2 \right] + (\beta_3 - 1) \right\}^2}. \quad (8)$$

Исследуем поле  $|(E_1)|^2$  в плоскости  $xoz$ , когда  $\beta_1=\sin \theta$ ,  $\beta_3=\cos \theta$ ,  $\beta_2=0$ , где  $\theta$  — угол дифракции. Второй множитель в (8) имеет острый максимум при  $\sin \theta=K/k$ , причем угловое распределение интенсивности подчиняется гауссовому закону с угловой шириной  $(kw_0)^{-1}$ . Третий множитель, характеризующий объемные эффекты, имеет широкий максимум и в основном оказывается на абсолютном значении максимума интенсивности при  $\sin \theta=K/k$ . В плоскости  $yoz$ , когда  $\beta_2=\sin \theta$ ,  $\beta_3=\cos \theta$ ,  $\beta_1=0$ , положение максимумов интенсивности определяется третьим множителем в (8), но их абсолютные значения много меньше, чем для максимумов в плоскости  $xoz$ . Исследование поля  $|(E_1)_-|^2$  проводится таким же путем. Может быть также детально исследовано распределение интенсивности в направлениях  $R_0$ , не лежащих в плоскостях  $xoz$ ,  $yoz$ .

### Литература

- [1] С. М. Рытов. Изв. АН СССР, сер. физ., 2, 222, 1937.
- [2] А. А. Глинский. В сб.: Применение ультраакустики к исследованию вещества. 205. Изд. МОПИ, М., 1960.
- [3] Г. С. Ландсберг. Оптика, 187. «Наука», М., 1976.
- [4] И. С. Градштейн, И. М. Рыжик. Таблицы интегралов, сумм, рядов и произведений, 498. «Наука», М., 1971.

Поступило в Редакцию 6 января 1978 г.

УДК 535.36

## ИЗУЧЕНИЕ НИЗКОЧАСТОТНОЙ ОБЛАСТИ КРЫЛА ЛИНИИ РАССЕЯНИЯ ДЛЯ НЕКОТОРЫХ ПЕРЕОХЛАЖДЕННЫХ ЖИДКОСТЕЙ

А. К. Атахаджаев, Ф. Х. Тухватуллин,  
Ф. С. Ганиев и И. П. Клейнер

Благодаря ряду теоретических и экспериментальных работ происхождение тонкой структуры крыла линии рассеяния в значительной степени выяснено. Определены условия, при которых рассеянный свет в жидкостях имеет тонкую структуру в  $I_{yH}$ -компоненте крыла ( $V$ ,  $H$  определяют поляризацию падающего и рассеянного света). Вид спектра зависит от величины безразмерного параметра  $k^2\eta/\varrho\Gamma_0$ , в котором  $\eta$  — вязкость,  $\varrho$  — плотность жидкости,  $\Gamma_0$  — полуширина  $I_{yH}$ -компоненты,  $k$  — волновой вектор. Дублетную структуру в крыле следует ожидать только при условии  $k^2\eta/\varrho\Gamma_0 \ll 1$ . Распределение интенсивности в спектре  $I_{yH}$ -компоненты должно описываться формулами работы Кейса и Кивельсона [1]

$$I_{yH}(\omega) = \Delta\alpha^2 I_{yz}(\omega) \sin^2 \frac{\theta}{2} + \Delta\alpha^2 I_{xz}(\omega) \cos^2 \frac{\theta}{2}, \quad (1)$$

$$I_{yz}(\omega) = \frac{\Gamma_0}{\Gamma_0 + \omega^2}, \quad (2)$$

$$I_{xz}(\omega) = \Gamma_0 \frac{(k^4\eta^2/\varrho^2)(1-R) + \omega^2}{(\Gamma_0\eta k^2/\varrho^2 - \omega^2)^2 + \omega^2(\Gamma_0 + [1-R]k^2\eta/\varrho)^2}, \quad (3)$$

где  $\Delta\alpha$  — разность поляризумостей молекул вдоль и перпендикулярно оси симметрии;  $\theta$  — угол рассеяния.

В одной из последних своих статей Цей и Кивельсон несколько уточнили теоретически предсказываемый вид спектра при значениях параметра  $k^2 \eta / \rho \Gamma_0 \geq 1$ , учтя зависимость вида спектра от волнового вектора  $k$ . Вид спектра, по расчетам Цея и Кивельсона, должен определяться соотношениями (1), (2), (10) работы [2].

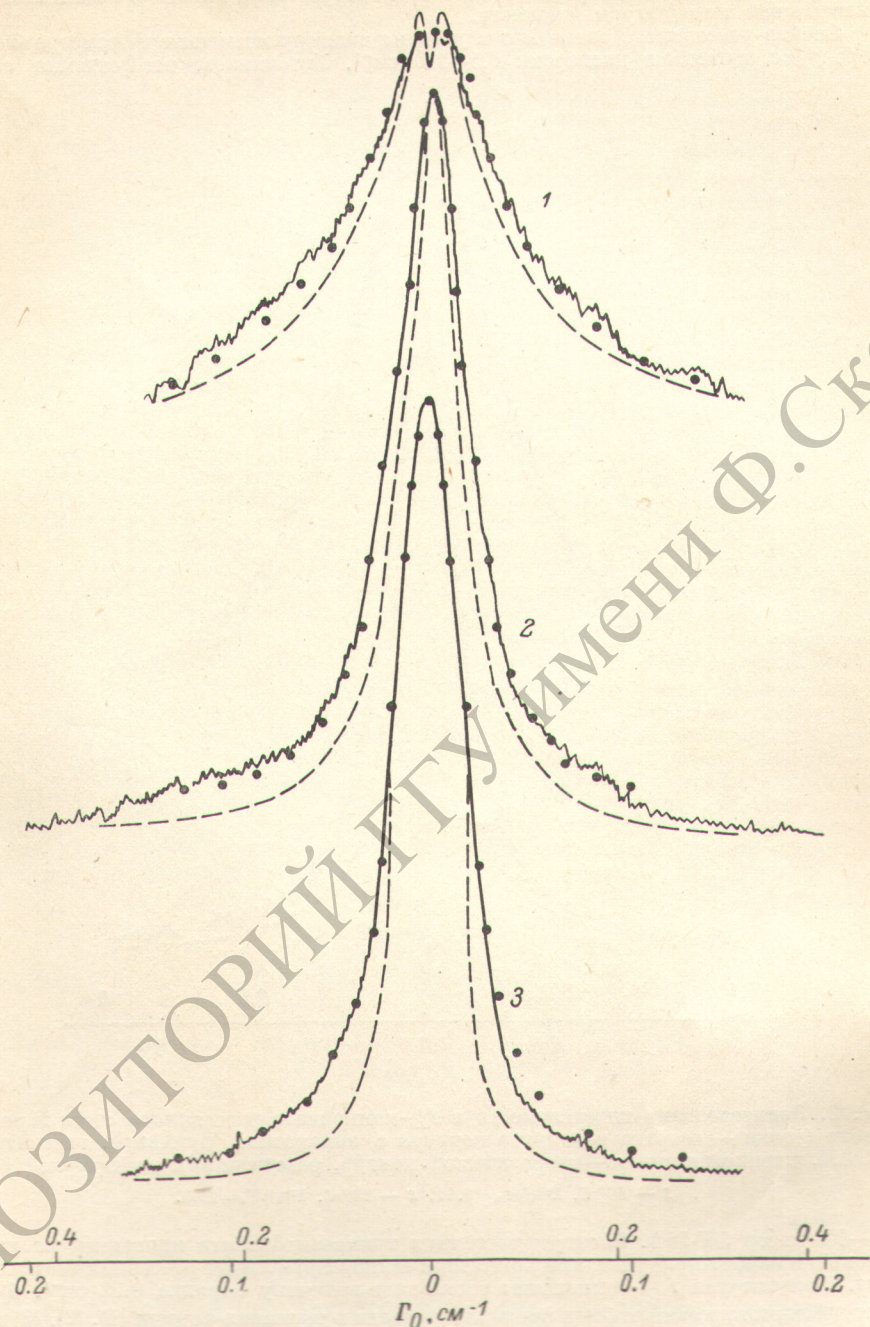


Рис. 1. Распределение интенсивности в  $I_{xx}$ -компоненте рассеянного света трикрезилфосфата (точки — свертка истинного контура с аппаратурной функцией, рассчитанная на ЭВМ, штриховая линия — теоретический контур, рассчитанный по формулам (1), (2) и (10) [2]).

В контуре при  $20^\circ \text{C}$  штриховая линия, рассчитанная по формулам (1), (2) и (3) [1]. 1 —  $100^\circ \text{C}$ ,  $k^2 \eta / \rho \Gamma_0 = 0.37$ , 2 —  $50^\circ \text{C}$ ,  $k^2 \eta / \rho \Gamma_0 = 48.6$ , 3 —  $20^\circ \text{C}$ ,  $k^2 \eta / \rho \Gamma_0 = 108$ .

Условие  $k^2 \eta / \rho \Gamma_0 \geq 1$  может быть достигнуто переохлаждением жидкостей, когда их вязкость сильно растет. К сожалению, переохлаждаемых жидкостей сравнительно немного. В связи с этим крыло линии рассеяния в области температур, при которых выполняется вышеприведенное условие, изучены недостаточно полно [2, 3].

В данном сообщении мы приводим результаты исследования низкочастотной области крыла линии рассеяния  $I_{\text{UP}}$  и  $I_{\text{HH}}$  трикрезилфосфата и парабромфенола. Первая жидкость при температуре 20° С имеет большое значение вязкости  $\eta=80.26$  спз, при этом параметр  $k^2\eta/\rho\Gamma_0$  равен 108. Нас интересовала кинетика изменения крыла с изменением температуры жидкости.

Спектр рассеянного света был изучен на сканирующем интерферометре Фабри—Перо [4] с областями дисперсии  $0.5 \div 1.0 \text{ см}^{-1}$ . Источником возбуждения служил

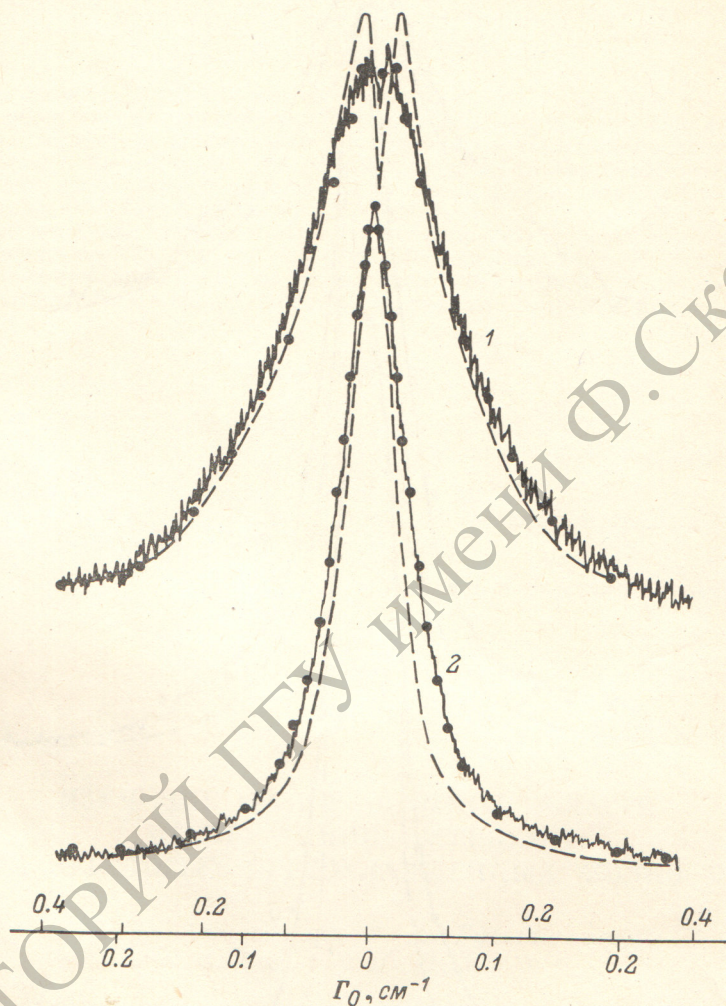


Рис. 2. Распределение интенсивности в  $I_{zx}$ -компоненте рассеянного света парабромфенола (точки — свертка истинного контура с аппаратной функцией, рассчитанная на ЭВМ, штриховая линия — теоретический контур, рассчитанный по формуле (10) [2]).

$$1 - 60^\circ \text{ C}, k^2\eta/\rho\Gamma_0 = 0.61, 2 - 20^\circ \text{ C}, k^2\eta/\rho\Gamma_0 = 15.0.$$

Не—Не лазер ЛГ-36А. Спектры рассеяния трикрезилфосфата приведены на рис. 1. Как видно из этого рисунка, при комнатной температуре линия рассеяния чрезвычайно узка. Полуширина  $I_{\text{HH}}$ -компоненты составляет величину порядка  $0.02 \text{ см}^{-1}$ . Форма контура линии рассеяния была проанализирована в терминах формул (1), (2), (3) и (10) теории Цея и Кивельсона [2]. Анализ проводился с использованием электронной вычислительной машины. Программа вычислений была построена следующим образом: вычисленные по формулам (1), (2), (3) и (1), (2), (10) работы [2] спектры с экспериментально определенными параметрами  $\eta$ ,  $\rho$ ,  $n$ ,  $k$ ,  $\Gamma_0$  свертывались с аппаратным контуром прибора. Результаты сравнивались с наблюдаемым контуром. Расчет проводился вариацией параметра  $R$  до наилучшего соответствия свертки с наблюдаемым контуром. На рис. 1 точками приведен вид рассчитанных таким образом спектров, а штриховыми кривыми — соответствующие этим спектрам истинные контуры линии рассеяния, рассчитанные по формулам (1), (2) и (10).

Расчеты по формулам (1), (2) и (3) не дали соответствия с наблюдаемым контуром. На рис. 1 для сравнения дан вид рассчитанного спектра по этим формулам при таком значении  $R$ , когда достигается хорошее соответствие с опытом. Как видно из рис. 1,

соответствие формул (1), (2) и (3) с опытом достигается лишь для центральной части линии рассеяния, однако по мере удаления от центра расчет и опыт все больше и больше различаются. В дальнейшем расчеты проводились только по формулам (1), (2) и (10). Из рис. 1 видно, что спектр рассеяния (истинный контур) представляет собой линию без тонкой структуры, она и не наблюдается в экспериментальном контуре линии рассеяния.

С повышением температуры линия рассеяния претерпевает уширение. Уширяются  $I_{VH}$ - и  $I_{HH}$ -компоненты. При  $50^{\circ}\text{C}$  полуширина линии  $I_{HH}$ -компоненты составляет величину  $0.04 \text{ см}^{-1}$ , при  $100^{\circ}\text{C}$  —  $0.12 \text{ см}^{-1}$ . Видоизменяется и форма контура линии рассеяния  $I_{VH}$ -компоненты. Для всех изученных температур были проведены расчеты  $I_{VH}$ -компонента и во всех случаях наблюдается удовлетворительное согласие между наблюдаемым контуром и сверткой. На рис. 1 приведен вид истинного контура при температурах  $50$  и  $100^{\circ}\text{C}$ , рассчитанный для случая наилучшего соответствия свертки и наблюдаемого контура. Из этого рисунка видно, что по мере уменьшения  $k^2\eta/\rho\Gamma_0$  все более и более четко выявляется тонкая структура в крыле линии рассеяния. Однако аппаратный контур оказывает сильное влияние на разрешение тонкой структуры крыла. В нашем случае ширина аппаратной функции была достаточно большой ( $0.03 \text{ см}^{-1}$ ), и поэтому даже при  $100^{\circ}\text{C}$ , когда в истинном контуре существует довольно сильный провал, тонкая структура в видимом контуре отчетливо не проявляется.

По уширению  $I_{HH}$ -компоненты нами определены времена релаксации анизотропии для молекулы трикрезилфосфата при  $20^{\circ}\text{C}$   $\tau=550$  пс, при  $50^{\circ}\text{C}$   $\tau=260$  пс и при  $100^{\circ}\text{C}$   $\tau=90$  пс. Температурная зависимость времени релаксации дает для энергии активации значение  $4.7$  ккал/моль. Любопытно привести сравнение этих величин с данными дисперсии электромагнитных волн при комнатной температуре.  $\tau_d=800$  пс,  $U_d=-8$  ккал/моль.<sup>1</sup> Сложное строение жидкости и сложная форма молекул является, по-видимому, причиной плохого соответствия результатов двух методов.

К числу переохлаждаемых жидкостей относится также парабромфенол. Для этого вещества форма контура линии рассеяния также была изучена в переохлажденном состоянии в интервале температур от  $20$  до  $60^{\circ}\text{C}$ . Для данного вещества параметр  $k^2\eta/\rho\Gamma_0$  в этом интервале температур меняется в пределах от  $15.0$  до  $0.61$ . Результаты опыта для этой жидкости были проанализированы в терминах теории Цея и Кивельсона с помощью ЭВМ. Как и в случае трикрезилфосфата, наблюдается постепенное видоизменение формы крыла линии рассеяния (компоненты  $I_{VH}$  от узкой линии без провала в центре до сложной формы крыла с провалом в центре линии рассеяния).

Кинетика изменения формы крыла с изменением температуры представлена на рис. 2. В случае парабромфенола расстояние между компонентами дублета крыла при  $60^{\circ}\text{C}$  достаточно большое и при использованной ширине аппаратного контура компоненты структуры в видимом контуре разрешаются. На рис. 2 приведен вид контура линии рассеяния парабромфенола при  $60^{\circ}\text{C}$ , где точками нанесен рассчитанный спектр рассеяния. Как видно, наблюдается хорошее соответствие свертки и наблюдаемого контура. По уширению  $I_{HH}$ -компоненты определены величины времени релаксации анизотропии и энергии активации. Значение энергии активации  $U_d=5.2$  ккал/моль.

#### Литература

- [1] D. Kivelson, T. Keyes. J. Chem. Phys., 56, 1876, 1972.
- [2] S.-J. Tsay, D. I. Kivelson. J. Mol. Phys., 29, 1, 1975.
- [3] А. Ф. Костко, Н. Б. Рождественская. В сб. докл. I Всесоюzn. симп. по акустооптической спектроскопии, 80. Ташкент, 1976.
- [4] И. П. Клейнер, Ф. Х. Тухватуллин, А. К. Атаходжаев. ДАН УзССР, 8, 28, 1975.

Поступило в Редакцию 1 сентября 1977 г.

УДК 535.34.01

## КОЭФФИЦИЕНТ ЭКСТИНКЦИИ В КРИТИЧЕСКОЙ ТОЧКЕ

H. A. Немов

Согласно оценке, произведенной в работах Кузьмина [1], эффекты многократного рассеяния вблизи критической точки становятся существенными при  $\tau \lesssim 10^{-9}$ , где  $\tau = (T - T_c)/T_c$ .

Нами показано, что учет затухания электромагнитных волн меняет поведение рассевающей среды в области малых  $\tau$ . Получено выражение для предельного значения коэффициента экстинкции  $h$  в критической точке.

<sup>1</sup> Значения  $\tau_d$  и  $U_d$  получены Х. Т. Туракуловым.